

# پیش‌بینی عدد کثوردیناسیون سطح فلزهای مذاب

انسیه قاسمیان لمراسکی<sup>\*</sup><sup>+</sup>، حدیث پرهیز

دانشکده علوم پایه، دانشگاه آیلام، آیلام، ایران

**چکیده:** در این پژوهش کشش سطحی و عدد کثوردیناسیون سطح فلزهای مذاب با استفاده از معادله استفان محاسبه و گزارش شده است. پارامترهایی مانند آنتالپی تضعیف، چگالی و کشش سطحی از جمله مهم‌ترین پارامترهای مورد نیاز هستند. در پیش‌بینی کشش سطحی فلزهای مذاب، فرضیه‌هایی همچون تغییرهای بسیار جزئی حجم در لحظه ذوب، شبیه بودن ساختار بلوری مایع و جامد در نقطه ذوب، در نظر گرفتن آنتروپی فرونی سطح، و صرف نظر از برهمکنش ذره با ذره‌ها در لایه‌های دوم و سوم از سطح در نظر گرفته شد. نتیجه‌ها نشان داد که عدد کثوردیناسیون سطح فلزهای مذاب کسری بین  $0.7 \text{--} 0.8$  از عدد کثوردیناسیون توده است. وابسته بودن عدد کثوردیناسیون سطح به پارامترهای گوناگون در معادله استفان، مانند دما، حجم و یکسان نبودن شرایط محاسبه از جمله دما امکان مقایسه اعداد کثوردیناسیون سطح فلزهای گزارش شده در مراجع و پژوهش حاضر را دشوار ساخته است. در ادامه پژوهش از معادله‌های گوناگونی به منظور همبسته نمودن عدد کثوردیناسیون استفاده شد و پارامترهای تنظیم‌پذیر محاسبه و معرفی شدند.

**واژه‌های کلیدی:** فلز مذاب؛ عدد کثوردیناسیون سطح؛ کشش سطحی؛ آنتالپی تضعیف.

**KEYWORDS:** Molten metal; Surface coordination number; Surface tension; Enthalpy of sublimation.

## مقدمه

موجب شده تا کشش سطحی کاربرد گسترده‌ای از نقطه نظر علمی به خود اختصاص دهد[۱-۵].

فلزها در حالت مایع و بخار، ساختار پیچیده‌ای دارند. اطلاعات مرتبط با ویژگی‌های ترمودینامیکی این گروه از عناصر از اهمیت به سزاوی برخوردار است. کشش سطحی فلزهای مذاب خالص و مخلوط در مطالعه ساختار و برهمکنش بین ملکولی چه در سطح و چه در توده کاربرد زیادی داشته که می‌توان به برآورد میزان غیر ایده‌آل بودن محلول‌ها و تعیین درصد خلوص اشاره کرد. از سوی دیگر اطلاعات اساسی درباره ساختار و انرژی سطح در فرایندهای همچون لحیم کاری، سینترینگ، تشکیل شیشه و جداسازی از جایگاه ویژه‌ای برخوردار بوده بهطوری که می‌توان گفت: معلوم بودن

وجود یک لایه هر چند نازک به نام سطح در مایع‌ها و جامدها و رفتار متفاوت آن نسبت به توده موجب شده است تا سطح به عنوان شاخه مجازی در دانش‌هایی همچون شیمی، فیزیک، مواد و مکانیک رشد پیدا کرده و اهمیت زیادی در مطالعه‌های پژوهشی و صنعتی پیدا کند. در بین روش‌های بسیار و گوناگونی که برای مطالعه ویژگی‌های سطح مایع‌ها وجود دارد، کشش سطحی خاصیت شیمی فیزیکی مهمی است که ویژگی‌های بسیار جالب سطح در آن نمایانگر می‌شود. از سویی دیگر برتری‌های همچون سادگی و دقت کشش سطحی نسبت به سایر روش‌ها و ارایه اطلاعات مفید و سازنده برای تعیین ساختار، برهمکنش و نیروهای بین ملکولی چه در سطح و چه در توده حلال یا محلول

+E-mail: eghasemian@ymail.com

\*عهده دار مکاتبات

در این مقاله سعی شده است تا با ارایه راهکاری مناسب برای دستیابی به نسبت و رابطه به دست آمده بین عدد کثوردیناسیون توده و سطح نتیجه را به سایر سامانه‌ها و فلزهای گوناگون گسترش داده و در محاسبه‌های مربوط به کشش سطحی و سایر پارامترهای فیزیکی و ترمودینامیکی از آن استفاده شود.

نتیجه‌های به دست آمده تطابق خوبی با موردهای همانند گزارش شده داراست. هر چند متفاوت بودن شرایط محیطی امکان مقایسه کامل نتیجه‌ها گزارش شده در مراجع و مقدارهای محاسبه شده در این پژوهش را سخت نموده است. با این حال نزدیک بودن مقدارهای کشش سطحی با کشش سطحی تجربی گزارش شده در مقاله‌ها بیانگر درستی روش به کار برده دارد. بی‌شک پیشنهادی ارایه شده در این پژوهش در کنار سایر روش‌های پیشنهادی در مقاله‌ها دستیابی به مقدارهای عده‌های کثوردیناسیون سطح را آسان‌تر خواهد ساخت. در قسمت دوم و پایانی این پژوهش سعی شده است تا معادله‌های گوناگونی به منظور همبسته نمودن عدد کثوردیناسیون سطح و پارامترهایی مانند آنتالپی، چگالی و کشش سطحی معرفی و به کارگرفته شود.

### بخش نظری

یکی از مهم‌ترین معادله‌هایی که پارامترهای کلیدی و مهمی مانند کشش سطحی و آنتالپی تبخیر را بهم مرتبط می‌سازد معادله استفان است که به صورت زیر ارایه شده است [۱۸، ۱۹]:

$$\sigma = \frac{\Delta_{\text{vap}} H_m^{\circ} Z_s}{V^{\frac{2}{3}} \cdot N_A^{\frac{1}{2}} Z} \quad (1)$$

در این معادله  $\sigma$  کشش سطحی،  $\Delta_{\text{vap}} H_m^{\circ}$  آنتالپی تبخیر استاندارد مولی،  $V$  حجم،  $N_A$  عدد آwooگادرو،  $Z_s$  و  $Z$  به ترتیب عدد کثوردیناسیون سطح و توده هستند. از آنجا که عدد کثوردیناسیون سطح و توده مایع‌ها به سادگی قابل محاسبه نیستند صورت‌های خطی گوناگونی از معادله استفان تا کنون معرفی شده است تا نیاز به محاسبه عدد کثوردیناسیون سطح و توده را برآورده سازد [۱۸، ۱۹]. در کار حاضر تلاش شده است تا با در اختیار گرفتن پارامترهایی مانند آنتالپی تبخیر، کشش سطحی، چگالی، و عدد کثوردیناسیون توده به محاسبه عدد کثوردیناسیون سطح فلزها پرداخته شود. به منظور محاسبه عدد کثوردیناسیون سطح مقدارهای آنتالپی تبخیر، حجم مولی یا چگالی، و عدد کثوردیناسیون توده از منابع استخراج

مقدارهای کشش سطحی و تغییر آن با ترکیب و شرایط گوناگون، اطلاعات گوناگون و سازندهای را برای پژوهشگر فراهم می‌آورد [۶-۸]. روش‌های نظری از دیرباز همراه با روش‌های تجربی به تعیین پارامترهای سطحی پرداخته و گسترش زیادی یافته‌اند. این روش‌ها به خاطر صرفه‌جویی در مواد، زمان و در اختیار گذاشتن اطلاعاتی که به سادگی به روش تجربی دست یافتی نیست، اهمیت بهسزایی در گسترش علم دارند. پارامترهای سطحی نیز از این قاعده مستثنی نیستند. این روش‌ها که به منظور پیش‌بینی پارامترهای سطحی فلزهای مذاب به کار رفته‌اند را می‌توان به دو دسته اساسی تقسیم‌بندی نمود. دسته اول شامل روش‌هایی است که پارامترهای اصلی سطح فلزهای مذاب را پیش‌بینی کرده و دسته دوم شامل روش‌هایی است که با محاسبه بعضی از ویژگی‌ها به شناخت ویژگی‌های سطحی فلزهای مذاب کمک می‌کنند [۹]. از مهم‌ترین روش‌های نظری که به منظور پیش‌بینی ویژگی‌های سطحی فلزهای مذاب به کار برده شده است می‌توان به روش آماری پتانسیل چاه مربعی<sup>(۱)</sup> و مدل‌های وابسته به آن [۱۰، ۱۱]، نظریه اختلال [۱۲]، شبیه سازی مونت کارلو [۱۳، ۱۲]، و روش‌های نیمه تجربی [۱۴-۱۶] اشاره نمود. در این پژوهش عدد کثوردیناسیون سطح دسته‌ای از فلزهای مذاب با استفاده از معادله استفان پیش‌بینی و مورد بحث و بررسی قرار گرفته است. در بین پژوهش‌ها و مقاله‌هایی که تاکنون انجام شده تعداد انگشت شماری به محاسبه عدد کثوردیناسیون سطح پرداخته‌اند.

پارامترهای فیزیکی مهمی مانند آنتالپی تبخیر، کشش سطحی، انرژی سطح و آنتالپی تصعید به عدد کثوردیناسیون سطح وابسته هستند [۱۷]. در مطالعه دینامیکی ساختار فلزهای مذاب و آلیاژها دستیابی به مقدارهای عدد کثوردیناسیون در پیش‌بینی ویژگی‌هایی همچون گرانزوی، ضریب نفوذ، فعالیت و هسته‌زایی از اهمیت بالایی برخوردار است. افزون بر این به تازگی مطالعه‌هایی به منظور همبسته نمودن اعداد کثوردیناسیون با اندازه، بار الکتریکی، شکل و ساختار نانوذره‌ها نیز ارایه شده است [۱۷]. از این رو با توجه به اهمیت و کاربرد گستردگی فلزها، آلیاژها و کمپلکس‌های فلزی مطالعه عدد کثوردیناسیون اهمیت بهسزایی در راستای دستیابی به ویژگی‌های ساختاری این دسته از ترکیب‌ها دارد. افزون بر این مطالعه رفتار و ویژگی‌های سطحی نانوذره‌ها با توجه به کاربرد روزافزون در پژوهش‌ها و صنعت دارای اهمیت زیادی بوده و محاسبه عدد کثوردیناسیون سطح خالی از این مستثنی نیست.

$$\rho_L(T) = \rho_L(T_m) + \left( \frac{d\rho_L}{dT} \right) (T - T_m) \quad (9)$$

با قرار دادن معادله (۲) در معادله (۹) معادله جدیدی برای کشش سطحی به دست خواهد آمد.

$$\gamma_{lv}(T) = \left( \frac{m\Delta_{vap}H_m^\circ - TS}{fN_a^{1/2}} \right) \left( \frac{\rho_L(T)}{M} \right)^{1/2} \quad (10)$$

یا

$$\frac{\gamma_{lv}(T)}{\gamma_{lv}(T_m)} = \left( 1 + p - p \frac{T}{T_m} \right) \left( 1 - p + p \frac{T}{T_m} \right)^{1/2} \quad (11)$$

در حالی که

$$p = \frac{1}{\left[ m \frac{\Delta_{vap}H_m^\circ}{TS_m} - 1 \right]}, \quad q = \left( \frac{d\rho_L}{dT} \right) \left[ \frac{T_m}{\rho_L(T_m)} \right] \quad (12)$$

بدین ترتیب با استفاده از معادله (۱۰) کشش سطحی فلزهای مذاب قابل محاسبه خواهد بود.

## نتیجه‌ها و بحث

مقدارهای محاسبه شده کشش سطحی ( $\gamma_{lv}$ )، آنتالپی تبخیر ( $\Delta_{vap}H_m^\circ$ )، آتریوپی فرونوی سطح  $A_L$  چگالی  $\rho_L$  فلز مذاب در دمای ذکر شده در جدول ۱ آورده شده است. مقدارهای محاسبه نشده کشش سطحی و کاهش آن نسبت به کشش سطحی در دمای ذوب بیانگر دقت و کارایی معادله‌های به کار گرفته شده است. پارامترهای ضریب دمایی چگالی ( $d\rho_L/dT$ )، کشش سطحی فلزهای مذاب در دمای ذوب ( $T_m$ )، دمای ذوب ( $T_{lv}$ ) از مراجع گردآوری شده است [۲۰].

## محاسبه عدد کوئردنیاسیون سطح

جدول ۲ مقدارهای عدد کوئردنیاسیون سطح محاسبه شده از معادله (۱) را نشان می‌دهد. مقدارهای عدد کوئردنیاسیون سطح در این پژوهش در بازه‌ی ۳-۸ بوده درحالی که برای فلزهای مایع با ساختار مکعب مرکز وجه پر  $Z_s = 6$ ، برای فلزهای سرب، طلا، نقره، سدیم، جیوه، پلاتین، آنتیموان، بیسموت، و قلع مقدار  $Z_s = 9$  در مراجع گزارش شده است [۱۵]. در برخی از مقاله‌های یاد شده صرف‌نظر از ماهیت فلز و با توجه به نوع ساختار بلوری

استفاده شده است [۲۰]. همچنین به منظور محاسبه کشش سطحی در دماهای مورد نظر از معادله لو و همکاران استفاده شده است [۲۰].

## محاسبه کشش سطحی

در سال ۲۰۰۵ میلادی لو و همکاران معادله‌ای به منظور پیش‌بینی کشش سطحی فلزهای مذاب بر اساس فرضیه‌هایی مانند تغییرهای بسیار جزئی حجم در لحظه ذوب، شبیه بودن ساختار بلوری مایع و جامد در نقطه ذوب، در نظر گرفتن آتریوپی فرونوی سطح، و با صرفه نظر از برهمکنش ذره با ذره‌ها در لایه‌های دوم و سوم از سطح مطابق معادله (۲) ارایه کردند:

$$\gamma_{lv}(T) = \left[ m\Delta_{vap}H_m^\circ - TS(T) \right] / \left[ N_a A_L(T) \right] \quad (2)$$

$$m = (2 - k_1 - k_1^{1/2}) / 2 \quad (3)$$

در معادله (۲)  $\gamma_{lv}(T)$  کشش سطحی مایع - بخار،  $\Delta_{vap}H_m^\circ$  آنتالپی تبخیر،  $S(T)$  آتریوپی فرونوی سطح،  $T$  دما،  $N_a$  عدد آwooگادرو،  $A_L(T)$  مساحت سطح در دمای  $T$  و  $k_1 = 3/4$  می‌باشد. با تعریف پارامتر  $A_L(T)$  به صورت معادله (۴)

$$A_L = \lambda^{1/2} h^{1/3} / 3 \quad (4)$$

و در صورتی که  $h$  ( قطر اتمی ) به شکل زیر تعریف شود:

$$h = \left( \frac{6\eta V}{\pi} \right)^{1/3} \quad (5)$$

حجم با استفاده از جرم اتمی، و چگالی از معادله (۶) قابل محاسبه خواهد بود.

$$V = M / \left[ N_a \rho(T) \right] \quad (6)$$

سپس با قراردادن معادله‌های (۵) و (۶) در معادله (۴) عبارت جدیدی برای  $A_L(T)$  به دست خواهد آمد:

$$A_L(T) = f \left\{ M / \left[ N_a \rho(T) \right] \right\}^{1/2} \quad (7)$$

در رابطه (۷)

$$f = \left( \frac{\lambda^{1/2}}{3} \right) \left( \frac{6\eta}{\pi} \right)^{1/2} \quad (8)$$

جدول ۱- مقدارها و پارامترهای محاسبه شده با استفاده از معادله‌ها (۹) تا (۱۲).

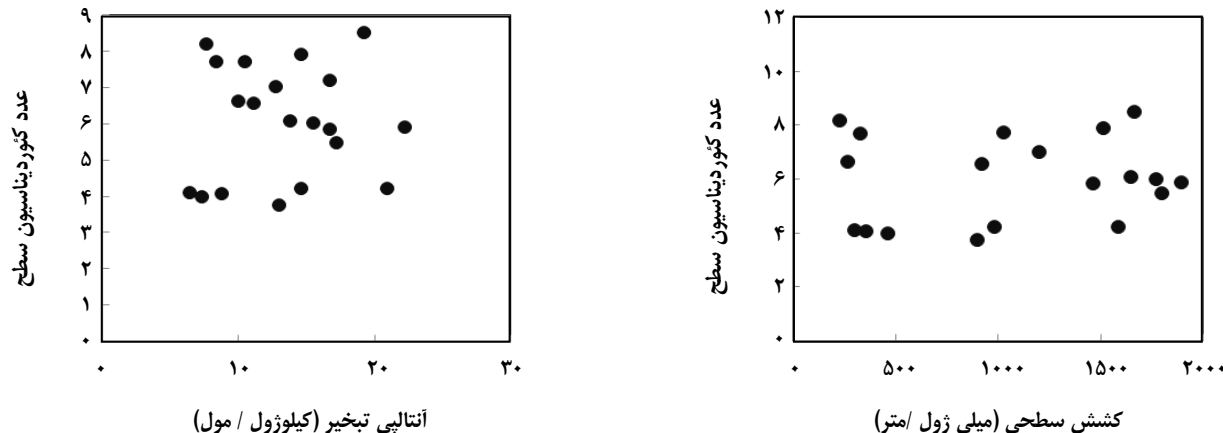
ف.	کشش سطحی در دمای زوب	نمای زوب (کلوین)	آنالی تبخیر (کیلوگرم/مول)	نمای ماسبه (کلوین)	گلی (گرم/امتزکعب)	پیشرات چکالی بادما (گرم/امتزکعب. کلوین)	آنتروپی (ژول/مول. کلوین)	Dبراندر	کشش سطحی در دمای محاسبه
Ag	۹۲۵	۱۲۳۴	۲۵۵	۱۲۷۳	۹۳۴۶	-۰,۹۱	۵,۳۰	-۰,۱۲	۹۲۰,۰
Al	۱۰۳۱	۹۳۳	۲۸۳	۹۴۳	۲۳۸۵	-۰,۲۸	۵,۳۰	-۰,۱۱	۱۰۲۹
Au	۱۲۱۱	۱۳۳۸	۳۳۰	۱۴۲۳	۱۷۳۶۰	-۱,۵۰	۵,۳۰	-۰,۱۲	۱۲۰۰
Ba	۲۳۱	۱۰۰۰	۱۵۰	۱۰۰۳	۳۳۲۱	-۰,۵۳	۵,۳۰	-۰,۱۶	۲۳۱
Ca	۳۲۸	۱۱۱۵	۱۶۴	۱۱۲۳	۱۳۶۵	-۰,۲۲	۵,۳۰	-۰,۱۸	۳۲۷
Cd	۳۰۵	۵۹۴	۱۰۰	۶۲۳	۸۰۲۰	-۱,۱۶	۵,۳۰	-۰,۰۹	۳۰۱
Ce	۸۴۵	۱۰۶۸	۳۵۰	۱۱۴۳	۶۶۸۵	-۰,۲۳	۵,۳۰	-۰,۰۴	۷۷۷
Co	۱۷۷۹	۱۷۶۸	۳۷۵	۱۸۲۳	۷۷۶۰	-۰,۹۹	۵,۳۰	-۰,۲۳	۱۷۶۷
Cr	۱۵۸۲	۲۱۸۰	۳۳۹	۲۱۷۳	۶۲۸۰	-۰,۳۰	۵,۳۰	-۰,۱۰	۱۵۸۳
Cu	۱۳۵۲	۱۳۵۸	۳۰۰	۱۴۲۳	۸۰۰۰	-۰,۸۰	۵,۳۰	-۰,۱۴	۱۳۴۱
Fe	۱۶۵۰	۱۸۱۱	۳۵۵	۱۸۲۳	۷۰۱۵	-۰,۸۸	۵,۳۰	-۰,۲۳	۱۶۴۸
La	۹۰۱	۱۱۹۳	۴۰۰	۱۲۴۳	۵۹۵۵	-۰,۲۴	۵,۳۰	-۰,۰۵	۸۹۸
Mg	۳۵۹	۹۲۳	۱۲۸	۹۵۳	۱۰۹۰	-۰,۲۷	۵,۳۰	-۰,۱۵	۳۵۶
Mn	۹۸۶	۱۵۱۹	۲۲۶	۱۵۳۳	۵۷۳۰	-۰,۷۰	۵,۳۰	-۰,۱۹	۹۸۴
Na	۲۱۵	۳۷۱	۹۸	۳۷۸	۹۲۷	-۰,۲۴	۵,۳۰	-۰,۰۹	۲۱۴
Ni	۱۸۱۰	۱۷۲۸	۳۷۸	۱۷۷۳	۷۹۰۵	-۱,۱۶	۵,۳۰	-۰,۲۵	۱۷۹۹
Pb	۴۶۶	۶۰۱	۳۸۰	۶۱۳	۱۰۶۷۸	-۱,۳۳	۵,۳۰	-۰,۰۷	۴۶۵
Pd	۱۴۶۷	۱۸۲۸	۱۷۸	۱۸۵۳	۱۰۴۹۰	-۱,۲۷	۵,۳۰	-۰,۲۲	۱۴۶۲
Pt	۱۸۹۶	۲۰۴۵	۴۹۰	۲۰۵۳	۱۹۰۰۰	-۲,۹۰	۵,۳۰	-۰,۳۱	۱۸۹۴
Sr	۲۶۸	۱۰۵۰	۱۴۴	۱۰۵۳	۲۴۸۰	-۰,۲۶	۵,۳۰	-۰,۱۱	۲۶۸

جدول ۲- عدد کوئردناسیون سطح، عدد کوئردناسیون توده و نسبت عدد کوئردناسیون سطح به عدد کوئردناسیون توده.

فلز	عدد کوئردناسیون	عدد کوئردناسیون سطح	نسبت عدد کوئردناسیون سطح/ عدد کوئردناسیون توده
Ag	۱۱	۷	۰,۶
Al	۱۲	۸	۰,۷
Au	۱۱	۷	۰,۶
Ba	۱۱	۸	۰,۸
Ca	۱۱	۸	۰,۷
Cd	۱۰	۴	۰,۴
Ce	۱۱	۲۰	۱,۸
Co	۱۱	۶	۰,۵
Cr	۱۱	۴	۰,۴
Cu	۱۱	۴	۰,۳
Fe	۱۱	۶	۰,۶
La	۱۱	۱۷	۱,۵
Mg	۱۱	۴	۰,۴
Mn	۱۱	۴	۰,۴
Na	۱۰	۱۳	۱,۲
Ni	۱۲	۵	۰,۵
Pb	۱۱	۱۲	۱,۱
Pd	۱۱	۶	۰,۵
Pt	۱۱	۶	۰,۵
Sr	۱۱	۷	۰,۶
Ti	۱۱	۸	۰,۷
Tl	۱۲	۱۳	۱,۱
V	۱۱	۷	۰,۷
Zn	۱۱	۴	۰,۴
Zr	۱۱	۹	۰,۴

عدد کوئردناسیون سطح دارای مقدار کمتری نسبت به عدد کوئردناسیون توده داراست. متفاوت بودن عدد کوئردناسیون سطح فلزهای گوناگون از یک سو به ساختار، ماهیت فلز، چگالی، و از سوی دیگر به نیروهای بین‌مولکولی وابسته می‌باشد. علت اعشاری بودن عدهای کوئردناسیون سطح در نظرگرفتن اثر برهمنکش مولکول‌ها در لایه دوم و سوم سطح با مولکول‌های لایه اول سطح است. ستون ۵ از جدول ۲ نسبت عدد کوئردناسیون سطح به عدد کوئردناسیون توده را نشان می‌دهد. این مقدار بین ۰,۳-۰,۸ است درحالی‌که این نسبت در تعدادی از مرجع‌ها

عدد کوئردناسیون سطح نصف عدد کوئردناسیون توده تعیین شده است. به عنوان نمونه گوتو نسبت ۰,۵ را بین عدد کوئردناسیون سطح و توده تخمین زده بود. البته این نکته دارای اهمیت است که گوتو ذره‌های فلزها را به صورت کره درنظر گرفته است [۲۱]. نتیجه‌های به دست آمده در جدول ۲ نشان می‌دهد عدهای کوئردناسیون سطح مقدارهای کمتری را نسبت به عدهای کوئردناسیون توده به خود اختصاص داده است. از آنجا که مولکول‌های سطح از یک سو با مولکول‌های توده مایع و از سوی دیگر با مولکول‌های فاز گاز رو به رو هستند.



شکل ۲- تغییرهای عدد کوردنیاسیون سطح و آنتالپی تبخیر فلزهای مذاب.

استفان و وابستگی عدد کوردنیاسیون سطح به پارامترهای ترمودینامیکی، رابطه‌های جدیدی ارایه شود. رابطه‌های به دست آمده به همراه پارامترهای تنظیم‌پذیر در جدول ۳ گزارش شده است. در این دسته از روابط سعی شده است تا بیشتر از رابطه‌های خطی بین متغیرها استفاده شود. a, b, c, d و e پارامترهای تنظیم‌پذیر معادله‌های (۱) - (۸) بوده که با استفاده از روش کمینه کردن مجموع مربع خطای مطلق نشان دهنده را گزارش شده است. مقدار انحراف استاندارد توانایی مدل‌های ارایه شده را نشان می‌دهد. مقدار بسیار کم متوسط خطای مطلق نشان دهنده آن است که مدل‌های ارایه شده در حد قابل پذیرشی داده‌های آزمایشی را پوشش داده، و در استخراج ضربه‌های به دست آمده تا جای ممکن سعی شده است تا رابطه‌های معادله‌های تعریف شده گویای رابطه‌ی موجود مؤثر بین عدد کوردنیاسیون سطح و پارامترها باشد.

### نتیجه‌گیری

عدد کوردنیاسیون سطح ۲۱ فلز در حالت مذاب و با استفاده از پارامترهای فیزیکی محاسبه و گزارش شده است. وجود نسبت منطقی بین عدد کوردنیاسیون توده و سطح نشان درستی و قابلیت معادله به کار رفته می‌باشد. محاسبه‌های ساده و نیاز نداشتن به پارامترهای پیچیده از برتری‌های این روش بوده و امید است در آینده عدد کوردنیاسیون مایع‌ها نیز با روشی آسان قابل محاسبه شود.

شکل ۱- تغییرهای عدد کوردنیاسیون سطح و کشش سطحی فلزهای مذاب.

حدود ۵/۰ گزارش شده است [۲۲، ۲۳]. یکی از علت‌های متفاوت بودن داده‌های عدد کوردنیاسیون سطح در منابع، متفاوت بودن عدد کوردنیاسیون توده و یکسان درنظر گرفتن عدد کوردنیاسیون توده در حالت جامد و مذاب است. همچنین وابسته بودن عدد کوردنیاسیون سطح به پارامترهای گوناگون در معادله استفان، و یکسان نبودن شرایط محاسبه از جمله دما امکان مقایسه اعداد کوردنیاسیون سطح فلزهای گوناگون را دشوار ساخته است. نکته قابل توجه دیگری که می‌توان از جدول ۲ دریافت اینست که با وجود این که عده‌های کوردنیاسیون توده بیشتر فلزهای نزدیک به هم است ولی عده‌های کوردنیاسیون سطح مقدارهای گوناگونی را نشان می‌دهد. این مطلب ناشی از تفاوت در نیروهای مؤثر در برهمنکش ذره‌ها در سطح فلزهای مذاب است. شکل‌های ۱-۴ تغییرهای عدد کوردنیاسیون سطح را با حجم مولی، آنتالپی تبخیر، کشش سطحی و عدد کوردنیاسیون سطح نشان می‌دهد. نمودارها نشان دهنده آن است که عدد کوردنیاسیون سطح نسبت به هریک از پارامترهای یاد شده پیرامون یک مقدار میانگین تغییر می‌کند.

### همبسته نمودن عدد کوردنیاسیون سطح

رابطه‌های بسیاری به منظور محاسبه عدد کوردنیاسیون توده بر اساس ترمودینامیک آماری و تابع توزیع شعاعی تاکنون به کار گرفته شده است که یکی از مهم‌ترین ایده‌های این دسته از معادله‌های پیچیدگی و در دسترس نبودن پارامترهای لازم است [۲۴، ۲۵]. بنابراین در ادامه پژوهش حاضر سعی شده است با الهام از معادله

جدول ۳- رابطه‌های به دست آمده بر اساس وابستگی عدد کثوردیناسیون سطح و دما، حجم، آنتالپی، و عدد کثوردیناسیون توده به همراه پارامترهای تنظیم‌پذیر.

پارامترهای تنظیم‌پذیر	c	b	a	d	میانگین انحراف استاندارد	میانگین خطای مطلق	میانگین خطای مطلق
مدل به کار رفته							
$Z_S = aT + bV + cH + dZ$	-1001	8.25E-6	-0.001	0.51	1.26 E-9	1.18 E-11	6.56 E-11
$Z_S = T^a + V^b + H^c + Z^d$	-0.0071	0.0082	0.0161	0.72	0.98	0.0051	0.29
$Z_S = Ta + Vb + Hc + Z^2d$	0.006	0.0019	0.0061	0.045	0.17	0.019	0.1
$Z_S = (Ta + Vb + Zd)/cH$	0.043	0.643	1.085	1.9	0.81	0.019	0.1
$Z_S = aT^2 \cdot bV \cdot Zd \cdot cH$	0.0002	0.3241	7.00E-7	6.7 E-4	0.1970	0.0056	0.028
$Z_S = (aT \cdot Vb \cdot Zd)/cH$	5.00 E-12	2.00 E-12	1.5 E-10	8.3 E-10	1.95	0.0577	0.278

## فهرست نمادها

$A_L(T)$	مساحت سطح در دمای T						
h	قطر اتمی	$\sigma$					کشش سطحی
$\rho_L$	چگالی	$\Delta_{vap}H_m^\circ$					آنتالپی تبخیر استاندارد مولی
M	جرم اتمی	V					حجم
$\eta$	پارامتر تراکم پذیری	$N_A$					عدد آووگادرو
		$Z_s$					عدد کثوردیناسیون سطح
		Z					عدد کثوردیناسیون توده
		$\gamma_{lv}(T)$					کشش سطحی مایع - بخار
		$H_v(T)$					آنتالپی تبخیر
		S(T)					آتروپی فرونی سطح
		T					دما

## مراجع

[1] Mehdipour N., Boushehri A., [Equation of State for Molten Alkali Metals from Surface Tension](#).

Part II, *Journal of Thermophysics*, **19**: 331–340 (1998).

[2] نیک سرشت، صابر؛ ریاضی مسعود؛ فرشچی تبریزی، فرشاد؛ معادله کشش بین سطحی فاز آبی - آب

در حضور ماده فعال در سطح سدیم دودسیل سولفات (SDS)، نشریه شیمی و مهندسی شیمی ایران، **۳۷**(۲) :

۱۸۳ تا ۱۹۳ (۱۳۹۷).

[3] Neumann A.W., David R., Zuo Y., “[Applied Surface Thermodynamics](#)”, CRC Press: Florida (2011).

- [4] Fan J., Zhao X., Guo Z., **Surface Tension of Ethyl Fluoride (HFC161) from (233 to 373) K, Fluid Phase Equilibria**, **316**: 98-101 (2012).
- [5] Mozaffari F., **Modeling the Volumetric Properties of Metals from Heat of Vaporization, Journal of Molecular Liquids**, **212**: 461–466(2015).
- [6] Berry JD., Neeson MJ., Dagastine RR., Chan DYC., Tabor RF, **Measurement of Surface and Interfacial Tension Using Pendant Drop Tensiometry, Journal of Colloid and Interface Science**, **454**: 226-237(2015).
- [7] جابرزاده، سعید؛ حقیقی اصل، علی؛ صفردی، سید جابر؛ رشیدی، عباس، بررسی تأثیر افزودن الکل و فعال کننده های سطحی بر روی هیدرودینامیک راکتور هوابالابر در شرایط سه فازی، نشریه شیمی و مهندسی شیمی ایران، ۳۳(۴) : ۶۹ تا ۷۷ (۱۳۹۳).
- [8] Mulero A., Cachadina I., **Recommended Correlations for the Surface Tension of Several Fluids Included in the REFPROP Program, Journal of Physical and Chemical Reference Data**, **43**: 023104 (2014).
- [9] Aqra F., Ayyad A., **Surface Energies of Metals in Both Liquid and Solid States, Applied Surface Science**, **257**: 6372–6379 (2011).
- [10] Kumar Mishra R., Lalneihpuji R., Raghvendra Pathak A., **Investigation of Structure, Thermodynamic and Surface Properties of Liquid Metals Using Square Well Potential, Chemical Physics**, **457**:13–18 (2015).
- [11] Sdobnyakov Nickolay Y., Samsonov Vladimir M., **On the Size Dependence of Surface Tension in the Temperature Range from Melting Point to Critical Point, Central European Journal of Physics**, **2**: 247–257(2005).
- [12] Bourasseau E., Homman A. A., Durand O., Ghoufi A., Malfreyt P., **Calculation of the Surface Tension of Liquid Copper from Atomistic Monte Carlo Simulations, The European Physical Journal B**, **86**: 251-266 (2013).
- [13] Salomons E., Mareschal M., **Atomistic Simulation of Liquid-Vapour Coexistence: Binary Mixtures, Journal of Physics: Condensed Matter**, **3**: 36-45(1991).
- [۱۴] میرزایی، بهروز؛ ارایه قانون اختلاط جدید برای پیش‌بینی کشش‌سطحی مخلوط‌ها، نشریه شیمی و مهندسی شیمی ایران، ۳۳(۲) : ۴۷ تا ۵۳ (۱۳۹۳).
- [15] Digilov R. M., **The Law of Corresponding States and Surface Tension of Liquid Metals, International Journal of Thermophysics**, **23**: 1381–1390(2002).
- [16] Gharagheizi F., Eslamimanesh A., Sattari M., Mohammadi A H., Richon D., **Development of Corresponding States Model for Estimation of the Surface Tension of Chemical Compounds, AIChE Journal**, **59**: 613-621 (2013).
- [17] Mirjalili M., Vahdati-Khaki J., **Prediction of Nanoparticles' Size-Dependent Melting Temperature Using Mean Coordination Number Concept, Journal of Physics and Chemistry of Solids**, **69**: 2116– 2123 (2008).

- [18] Carvalho P. J., Freire M. J., Marrucho I. M., Queimada A., Coutinho J. A. P., *Surface Tensions of Imidazolium Based Ionic Liquids: Anion, Cation, Temperature and Water Effect*, *Journal of Chemical Engineering*, **53**: 1346-1350 (2008).
- [19] Strechan A. A., Kabo G. J., Paulechka Y. U., *The Correlations of the Enthalpy of Vaporization and the Surface Tension of Molecular Liquids*, *Fluid Phase Equilibria*, **250**:125–130(2006).
- [20] Lu H. M., Jiang Q., *Surface Tension and Its Temperature Coefficient for Liquid Metals*, *Journal of Physical Chemistry*, 109:15463-15468(2005).
- [21] Gotoh K., *Surface Tension of Liquids from the Coordination Number in Random Assemblage*, *Industrial and Engineering Chemistry Fundamental*, **13**:287-289(1974).
- [22] Linh N.N., Hoang V.V., *Surface Structure and Structural Point Defects of Liquid and Amorphous Alumino Silicate Nanoparticles*, *Journal of Physics Condensed Matter*,**20**: 265-275 (2008).
- [23] Flowers B. H., Mendoza E., "Properties of Matter", Vol. **34**, John Wiley & Sons, Inc., London, (1970).
- [24] Tao D.P., *A Comparison of the Molecular Interaction Volume Model with the Subregular Solution Model in Multicomponent Liquid Alloys*, *Metallurgical and Materials Transactions A*, **35**(2): 419-424 (2004).
- [25] Tao D.P., *Prediction of the Coordination Numbers of Liquid Metals*, *Metallurgical and Materials Transactions A*, **36**(12): 3495-3497 (2005).